# 冬季東アジア域における大循環場の予測可能性

松枝未遠(筑波大学 CCS/University of Oxford) • 経田正幸(気象庁気候情報課)

#### 1. はじめに

これまでに大気大循環場の分類が多くの研究により行われてきた(例えば、Dawson and Palmer 2015; Ferranti et al. 2015; Wilson et al. 2013)。大循環場の持続性・再帰性により周辺地域に高温・低温、大雨、強風などをもたらすため、数値予報モデルが大循環場をどの程度予測できるのかを把握することは、減災の観点からも重要である。本研究では、冬季(11-3月)東アジア域(20°-60°N, 100°-170°E)の大循環場の予測可能性を、2週間先までを対象とする中期アンサンブル予報データにより探った。

## 2. 使用データ

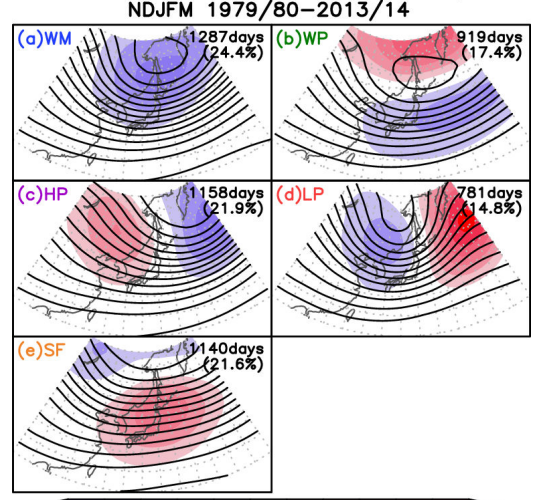
大循環場の特定、および、実況の把握には、ERA-Interim (Dee et al. 2011, QJRMS), APHRODITE (Yatagai et al. 2012, BAMS)を利用した。中期アンサンブル予報データとして、TIGGE データ (Swinbank et al., 2016)、および、NOAA GEFS 再予報データ (Hamill et al., 2013)を用いた。TIGGE データベースでは、世界の10の数値予報機関が日々行っているアンサンブル予報データが利用可能であるが、このうち、予測精度が高く、データができるだけ長期間利用できる、CMC (カナダ気象局)、ECMWF (欧州中期予報センター)、JMA (気象庁)、NCEP (米国環境予測局)、UKMO (英

国気象局)のデータを利用した。 NOAAのGEFS 再予報は、NCEPのデータ 同化システムと数値予報モデルを固定 し、過去約30年間の中期アンサンブ ル予報を再度行ったものである。この ため、しばしば数値予報システムが変 更する現業アンサンブル予報(TIGGE) データとは異なり、GEFS 再予報の精度は期間を通じてより均質であることが期待される(ただし、観測データの数が年々増加しているため、再予報の精度が期間を通じて完全に一様になることはない)。TIGGE データについては2006/07 年から2013/14 年の冬季を、GEFS 再予報データについては1985/86年から2013/14年の冬季を解析対象とした。

#### 3. 結果

冬季東アジア域の Z500 偏差 (ERA-Interimの 12UTC)の Principal Components(PCs)に対して、クラスター 解析(k-means 法, Jung et al. 2005) を行うことで(詳細は、Matsueda and Kyouda (2016,以下 KM2016)を参照)、 統計的に有意な循環場として、Winter Monsoon(WM)、Western Pacific(WP)、 High Pressure(HP)、Low Pressure(LP)、 Southerly Flow(SF) の 5 パターンを特 定した(図 1)。

ERA-Interim cluster centroids (Z500) NDJFM 1979/80-2013/14



-180-150-120-90 -60 -30 30 60 90 120 150 180 [m] 図 1 冬季東アジア域で卓越する大循環場(ERA-Interim, 1979/80-2013/14)。

図2-4は、各循環場に対する海面更 正気圧(SLP)、850hPa 風、850hPa 温度、 降水のコンポジットである。WM型(a) は、ユーラシア大陸から寒気が吹き出 す西高東低の冬型パターンで、本州・ 北海道日本海側に正の降水(降雪)偏差 をともなう。WP型(b)は、WM型と同様 に西高東低の冬型の気圧配置をしてい るが、北海道の北東沖に正偏差を伴う ため、低温偏差は主に西日本にみられ、 正の降水(降雪)偏差は本州日本海側に 限られる。HP型(c)では、日本全域が高 気圧で覆われ、負の降水偏差となる。 LP型(d)は、日本付近を低気圧が通過し てる(二つ玉低気圧が通過、あるいは、 日本海または日本南岸を低気圧が通 過)ため、HP型と対象的に日本全域が正 の降水偏差で覆われる。SF型(e)では、 日本列島に南から暖かく湿った空気が 入り込み(日本の南西沖から南岸を低 気圧が通過)、九州・四国全域と本州太 平洋側に正の降水偏差が見られる。

SLP&UV850 anomalies (ERA-Interim) NDJFM 1979/80-2013/14

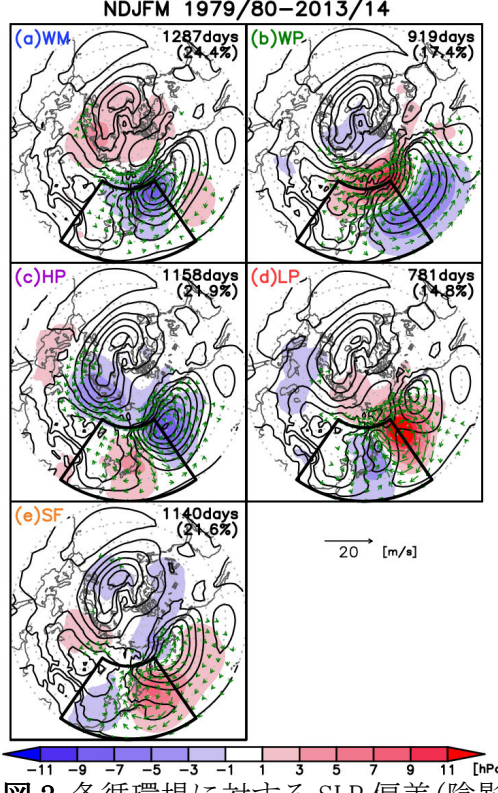
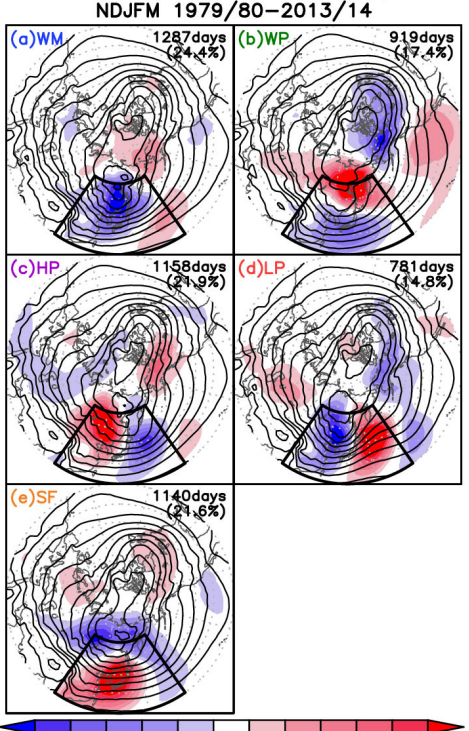


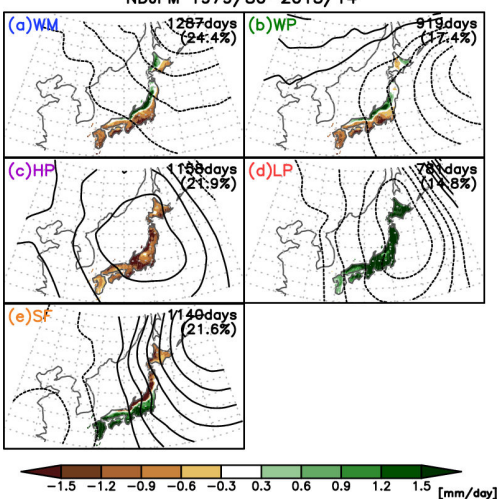
図2 各循環場に対する SLP 偏差(陰影) および 850hPa 風偏差(矢羽)の合成図。 各循環場の平均持続期間は、WP(LP)が最も長い(短い)4.0(2.3)日である。各循環場の出現頻度の年々変動には明瞭なトレンドは見られないが(MK2016参照)、ENSO(表 1)やマッデン・ジュリアン振動(MJO、図省略)の位相により出現頻度が有意に増減していた。

T850 anomalies (ERA-Interim) NDJFM 1979/80-2013/14



-3 -2.5 -2 -1.5 -1 -0.5 0.5 1 1.5 2 2.5 3 M 図3 図2と同じ。ただし、850hPa温度(コンター)とその偏差(陰影)。

PRCP and SLP anomalies(APHRODITE\_JP&ERA-Interim)
NDJFM 1979/80-2013/14



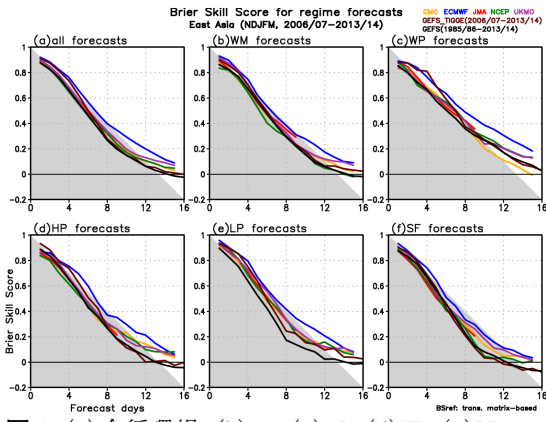
**図4** 図2と同じ。ただし、降水偏差(陰影) と SLP 偏差(コンター)。

また、循環場間の遷移には、他地域には見られない東アジア域特有の偏りがみられた(図 5)。この偏りにより、冬型の気圧配置に始まり、高低気圧が通過しやすい状態を経て、冬型の気圧配置に戻る WM(WP) $\rightarrow$ HP $\rightarrow$ SF $\rightarrow$ LP $\rightarrow$ WM(WP)という preferred circuit が 1979/80-2013/14 の間に 49 事例確認された。

WP WM WP HP LP SF
WM 0.71 0.03 0.13 0.05 0.08
WP 0.03 0.76 0.12 0.05 0.04
HP 0.08 0.06 0.68 0.01 0.17
LP 0.19 0.12 0.03 0.56 0.10
SF 0.08 0.02 0.06 0.20 0.64

図5 循環場間の遷移頻度。

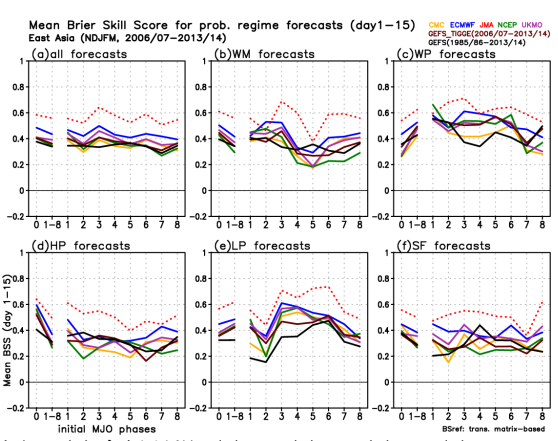
次に、数値モデルによる循環場の再現性と予測精度についてみた。モデルは、循環場間遷移について概ね共通したバイアスを持っているものの、予報時間とともにモデルによって異なる循環場を好むようになる(MK2016 参照)。



**図 6** (a) 全循環場, (b) WM, (c) WP, (d) HP, (e) LP, (f) SF の確率予報に対する BSS (BSS=0 で予報として価値がないことを表す)。色は各センター。

また、各循環場の確率予報の検証をブライアスキルスコア(BSS; Wilks 2011)により行った(図 6)。平均持続期間の最も長いWPの予報が最も精度が高く(特に ECMWF)、どのセンターのWP予報も平均して15日先まで価値があることが分かった。一方、SF予報が最も精度が低く、センター間の違いはあるものの、12日程度で予報の価値が無くなり始めることが分かった。これは、南岸低気圧の東進の予測がどのモデルにとっても難しいことを示唆する。

さらに、予報初期日における MJO の 活動度・位相による循環場確率予報の 精度の違いを調べた(図7)。予報初期日 に MJO が活発 (1-8) であれば予報精度が 向上(低下)するのはWP予報、LP予報(WM 予報、HP 予報、SF 予報)であった。し かしながら、予報初期日における MIO の位相によっても、予報精度に違いが 見られた。例えば、初期日の MJO が活 発の時に起こる WM 予報の精度低下は、 主に MJO の位相が 4-8 のときに見られ る。また、LP 予報は初期日に MJO が活 発だと精度が向上するが、これは主に MJO の位相が 3-6 の時によるもので、位 相2の時はむしろ予報精度が著しく低 下することが分かる。このように、MJO の初期位相は東アジア域の循環場の予 報精度を事前に知る指標となりうる。



**図7** (a)全循環場, (b) WM, (c) WP, (d) HP, (e) LP, (f) SF の確率予報に対する 1-15 日予報平均の BSS。 横軸は MJO の活動度 (0:不活発, 1-8:活発) と位相 (1 から 8)を、色は各センターを表す。

#### 4. まとめ

本研究では、Z500 偏差の主成分に対して k-means 法を適用することで東アジア域の大気大循環場の分類を行った。Z500 偏差に対してクラスタリングを行うことで、我々に馴染みのあるいわゆる西高東低の冬型の気圧配置を力学的に異なる WM 型と WP 型に分類する事ができた(SLP 偏差に対する k-means 法ではうまく分離できない)。東アジア域での循環場間遷移の偏りは、他地域と比べるとユニークで、WM(WP)型に始まりWM(WP)型に戻る循環場の preferred circuit も特定された。

また、TIGGE データ、GEFS 再予報データにより 2週間先までの循環場の予測可能性について調査した。どのモデルも、WP(SF)確率予報について高い(低い)精度を示していた。予報精度は、予報初期日の MJO の活動度や位相にも依存しており、MJO が東アジア域の循環場の予報精度を事前に知る指標となりうることが分かった。

### 参考文献

- Dawson, A. and T. N. Palmer, 2015: Simulating weather regimes: impact of model resolution and stochastic parameterization. Clim. Dyn., 44, 2177-2193.
- Dee, D. P., and 35 co-authors, 2011: The ERA-Interim reanalysis: Configuration and performance of the data assimilation system. Q. J. Roy. Meteorol. Soc., 137, 553-597.
- Ferranti L., S. Corti, and M. Janousek, 2015: Flow-dependent verification of the ECMWF ensemble over the Euro-Atlantic sector. *Q. J. R. Meteorol. Soc.*, 141, 916-924.
- Hamill, T. M., G. T. Bates, J. S. Whitaker, D. R. Murray, M.

- Fiorino, T. J. Galarneau, Jr., Y. Zhu, and W. Lapenta, 2013: NOAA's second-generation global medium-range ensemble reforecast data set. *Bull Amer. Meteor. Soc.*, **94**, 1553-1565.
- Jung, T., T. N. Palmer, and G. J. Shutts. 2005: Influence of a stochastic parameterization on the frequency of occurrence of North Pacific weather regimes in the ECMWF model, *Geophys. Res. Lett.*, **32**, L23811.
- Matsueda, M., and M. Kyouda, 2016:
  Wintertime East Asian flow
  patterns and their
  predictability on medium-range
  timescales. SOLA, 12, 121-126.
- Swinbank, R., M. Kyouda, P. Buchanan, L. Froude, T. M. Hamill, T. Hewson, J. H. Keller, M. Matsueda, J. Methven, F. Pappernberger, M. Scheuerer, H. Titley, M. Yamaguchi, and L. Wilson, 2015: The TIGGE Project and its Achievements. Bull. Amer. Meteor. Soc., 97, 49-67.
- Wilks, D., 2011: Statistical Methods in the Atmospheric Science. Third ed., Academic press: Oxford; 704 pp.
- Wilson, L., M. J. Manton, and S. T. Siems, 2013: Relationship between rainfall and weather regimes in south-eastern Queensland, Australia. *Int. J. Climatol.*, 33, 979-991.
- Yatagai, A., K. Kamiguchi, O. Arakawa,
  A. Hamada, N. Yasutomi, and A.
  Kitoh, 2012: APHRODITE:
  Constructing a Long-term Daily
  Gridded Precipitation Dataset
  for Asia based on a Dense
  Network of Rain Gauges, Bull.
  Amer. Meteor. Soc., 93,
  1401-1415.